

V-98 偏心したねじりによる鉄筋コンクリート部材のGCa小川

国士館大学 正員 松島 博

(1) 要旨 ねじりをうける部材の横断面に生じたそりが拘束され、さらに、断面せん断中心を外れて通る部材軸に因する「偏心ねじりモーメント」が作用するととき、二次的な曲げモーメントが説明される。ここでは、外力としての曲げモーメントとともに偏心ねじりモーメントが作用し、端部固定によって断面のそりが拘束される場合のGCa小川について検討する。

(2) 記号 M_t : 固有ねじり中心に因するねじりモーメント, M_{te} : 偏心ねじりモーメント, M_b : 外力としての曲げモーメント, M'_b : ねじり偏心による二次的曲げモーメント, M''_b : M_b と M'_b の合成曲げモーメント, $\alpha = M_b / M_{te}$, $\gamma_{1,2,3}$: ねじり定数, σ_b : コンクリートの曲げ強度, e : 断面のせん断中心と作用ねじり中心との偏心距離, θ : ねじれ率, β : ねじれ角

(3) 断面力

a) M_{te} によるもの Fig. 1 について考える。Fig. 2 において、点O(せん断中心)に因するねじりモーメントは、 $M_t = M_{te} - P \cdot e$ である。ここで、点O'(作用ねじり中心)が移動しないことを条件にPを決定する。このため、Fig. 3-1 のように断面が点O'を中心として回転し、つぎに Fig. 3-2 のようにPによって点O'が旧位置に戻るものと考えれば、 $I = I_x \sin^2 \varphi' + I_y \cos^2 \varphi'$ として。

$$P = \frac{I}{1+\gamma} \frac{M_{te}}{e}, \quad M_t = \frac{\gamma}{1+\gamma} M_{te}, \quad M'_b = \frac{1}{2(1+\gamma)} \frac{e}{e} M_{te}, \quad \gamma = \left(\frac{G}{E}\right) \left(\frac{R}{L}\right) \frac{b^3 h}{12I} \left(\frac{e}{e}\right)^2 \quad (1)$$

b) M_{te} と M_b によるもの このとき、 M_t と M''_b が作用する。 M''_b は Fig. 4 に示す。

$$\left. \begin{aligned} M''_b &= M'_b \sqrt{\left(\frac{M_b + \sin \varphi'}{M'_b}\right)^2 + \cos^2 \varphi'} = \frac{M_{te}}{A_1}, \quad A_1 = \sqrt{2(1+\gamma) \frac{e}{\ell} + \sin^2 \varphi' + \cos^2 \varphi'} \\ \varphi'' &= \frac{\pi}{2} - \tan^{-1} \frac{M'_b \cos \varphi'}{M_b + M'_b \sin \varphi'} = \frac{\pi}{2} - \tan^{-1} \frac{\cos \varphi'}{2(1+\gamma) \frac{e}{\ell} + \sin \varphi'} \end{aligned} \right\} \quad (2)$$

(4) GCa小川強度 M_t のせん断応力度と M''_b の垂直応力度による主応力度が σ_b と見えるときに GCa小川が発生するものとすれば、GCa小川強度は次のうち最小値である。式(3)による計算例と表・1 に示す。

$$\left. \begin{aligned} M_{te}(A, E) &= \frac{A_1 A_2}{b^2 h \sigma_b}, \quad A: +, E: -, \quad M_{te}(B, F) = \pm \frac{A_1 A_3}{b^2 h \sigma_b}, \quad \text{以下同じ} \\ M_{te}(C, G) &= \frac{2 A_1 A_3}{b^2 h \sigma_b}, \quad M_{te}(D, H) = \pm \frac{A_1 A_3}{b^2 h \sigma_b}, \quad \text{以下同じ} \\ A_2 &= \frac{4I}{b^3 h} \operatorname{sec} \varphi'', \quad A_3 = \frac{A_2}{2} \cdot \frac{b}{h} \cot \varphi'', \quad A_4 = \frac{A_1}{R_b} \cdot \frac{\gamma}{1+\gamma} \end{aligned} \right\} \quad (3)$$

M_b が作用しないときは、 $\alpha = 0$ とし、 $\varphi'' = \varphi'$ 、 $M''_b = M'_b$ となり、従って $A_1 = 2(1+\gamma) \frac{e}{\ell}$ として上式を用いる。

(5) GCa小川発生による金剛構造の変化 GCa小川発生とともに金剛構造は全く変化し、“double skew bending”的状態となる。モーメントをベクトル表示し、Fig. 5において M_b はX軸に M_t はZ軸に一致し、 M'_b はY軸に対して傾斜しているものとして示せば。

X平面: $M_t \times M_b \rightarrow M'_b \times M_T$ (Fig. 6), Y平面: $M'_b \times M_b \rightarrow M_B$ (Fig. 7)
従って、Fig. 9 に示すような仮想断面部材に M_B と M_T が作用するもととして、部材の破壊強度と変形を求めることができる。このとき、ねじり偏心距離は、中立軸の移動に伴なって変化する。

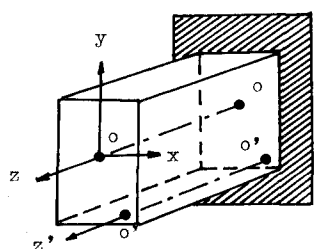


Fig. 1

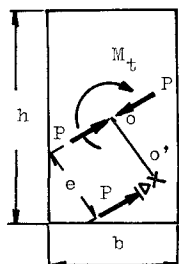


Fig. 2

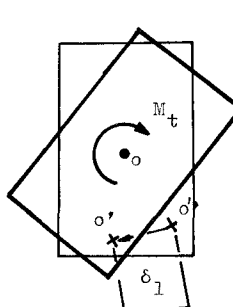


Fig. 3-1

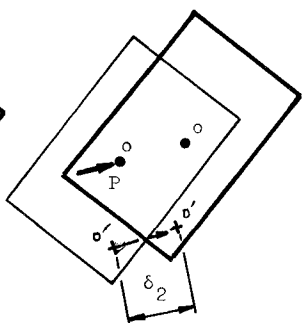


Fig. 3-2

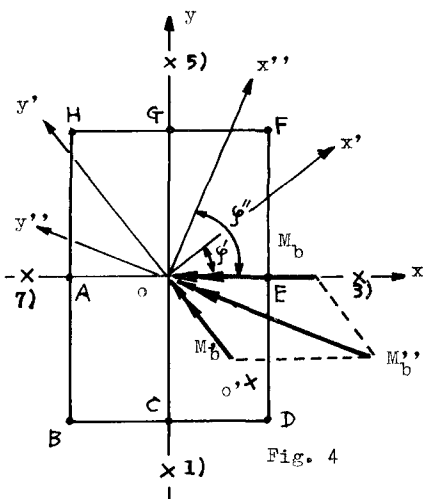


Fig. 4

Table 1 : $M_{te}(\text{cracking}) / b^2 h \sigma_b$ ($1/e = 10$)

h/b	1.0		1.6		No.	
	α	0	1.0	0	1.0	
φ' (deg)	0	0.1483	0.0703	0.1771	0.0588	1)
	45	0.1677	0.0836	0.2088	0.0945	2)
	90	0.1483	0.1088	0.1788	0.1766	3)
	135	0.1677	0.1515	0.1929	0.1882	4)
	180	0.1483	0.2036	0.1771	0.1670	5)
	225	0.1677	0.1667	0.2088	0.2383	6)
	270	0.1483	0.1364	0.1788	0.1475	7)
	315	0.1677	0.0747	0.1929	0.1009	8)

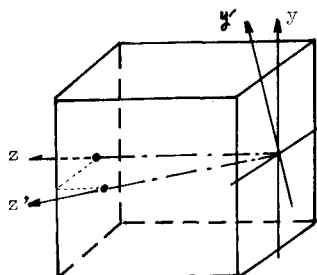


Fig. 5

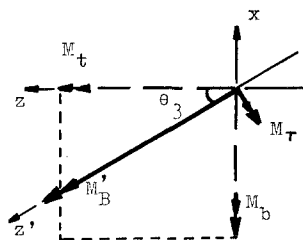


Fig. 6 (zx平面)

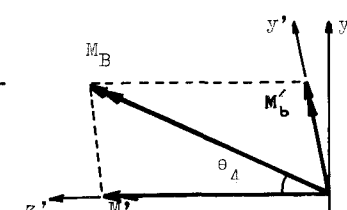


Fig. 7 (z'y平面)

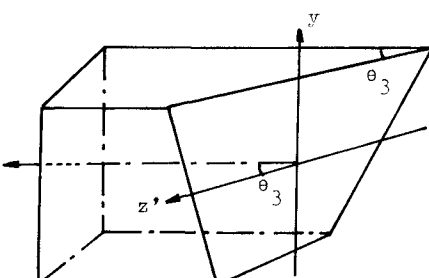


Fig. 8

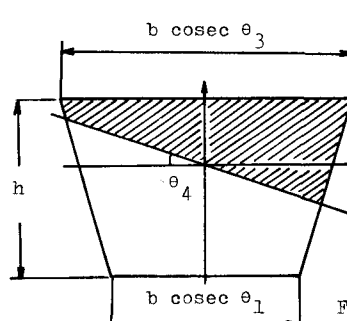


Fig. 9